

**Zeitschrift:** Schweizerische Zeitschrift für Vermessung, Kulturtechnik und Photogrammetrie = Revue technique suisse des mensurations, du génie rural et de la photogrammétrie

**Herausgeber:** Schweizerischer Verein für Vermessungswesen und Kulturtechnik = Société suisse de la mensuration et du génie rural

**Band:** 68 (1970)

**Heft:** 3

**Artikel:** Einiges über die Fehlerfortpflanzung bei Absteckungen mit Winkeln

**Autor:** Schmutter, B.

**DOI:** <https://doi.org/10.5169/seals-223658>

### Nutzungsbedingungen

Die ETH-Bibliothek ist die Anbieterin der digitalisierten Zeitschriften auf E-Periodica. Sie besitzt keine Urheberrechte an den Zeitschriften und ist nicht verantwortlich für deren Inhalte. Die Rechte liegen in der Regel bei den Herausgebern beziehungsweise den externen Rechteinhabern. Das Veröffentlichen von Bildern in Print- und Online-Publikationen sowie auf Social Media-Kanälen oder Webseiten ist nur mit vorheriger Genehmigung der Rechteinhaber erlaubt. [Mehr erfahren](#)

### Conditions d'utilisation

L'ETH Library est le fournisseur des revues numérisées. Elle ne détient aucun droit d'auteur sur les revues et n'est pas responsable de leur contenu. En règle générale, les droits sont détenus par les éditeurs ou les détenteurs de droits externes. La reproduction d'images dans des publications imprimées ou en ligne ainsi que sur des canaux de médias sociaux ou des sites web n'est autorisée qu'avec l'accord préalable des détenteurs des droits. [En savoir plus](#)

### Terms of use

The ETH Library is the provider of the digitised journals. It does not own any copyrights to the journals and is not responsible for their content. The rights usually lie with the publishers or the external rights holders. Publishing images in print and online publications, as well as on social media channels or websites, is only permitted with the prior consent of the rights holders. [Find out more](#)

**Download PDF:** 28.01.2026

**ETH-Bibliothek Zürich, E-Periodica, <https://www.e-periodica.ch>**

# Schweizerische Zeitschrift für Vermessung, Photogrammetrie und Kulturtechnik

Revue technique Suisse des Mensurations, de Photogrammétrie et du Génie rural

Herausgeber: Schweiz. Verein für Vermessungs-  
wesen und Kulturtechnik; Schweiz. Gesellschaft für  
Photogrammetrie; Fachgruppe der Kulturingenieure des  
SIA

Editeurs: Société suisse des Mensurations et Amélio-  
rations foncières; Société suisse de Photogrammétrie;  
Groupe professionnel des Ingénieurs du Génie rural de  
la SIA

Nr. 3 • LXVIII. Jahrgang

Erscheint monatlich

15. März 1970

DK 528.115:528.486:513

## Einiges über die Fehlerfortpflanzung bei Absteckungen mit Winkeln

B. Schmutter

### Résumé

Au début, la géométrie du problème est discutée. Les formules concernant la corrélation entre les points voisins sont déduites. Les formules sont valables pour le calcul des éléments de piquetage et le calcul de propagation des erreurs. En plus, une discussion des erreurs est formulée, et l'influence des mesures de cordes et des directions sur l'exactitude des coordonnées est démontrée.

### 1. Einleitung

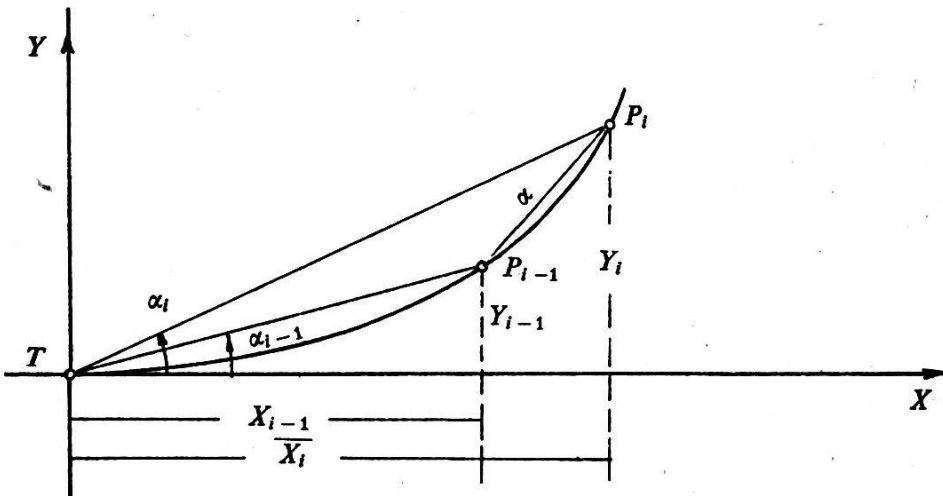
Die Fehlerfortpflanzung längs gemessenen Strecken wurde bis jetzt nur für Polygone umfassend untersucht. Auf die Genauigkeit anderer Absteckungsmethoden wurde in der Fachliteratur der Vermessungskunde nur selten eingegangen. Dieser Aufsatz versucht einige dieser Probleme zu behandeln.

Das Endresultat einer Genauigkeitsuntersuchung sind Formeln für Genauigkeitsabschätzungen, das heißt die Berechnung mittlerer Fehler von Koordinaten, oder die Bestimmung von Fehlerellipsen für jeden Punkt entlang der abgesteckten Kurven. Solche Formeln können dann abgeleitet werden, wenn der Zusammenhang zwischen den Koordinaten  $X$ ,  $Y$  eines beliebigen Punktes auf der Kurve und den Bestimmungsgrößen dieses Punktes bekannt sind.

### 2. Die Geometrie des Problems

Ein Punkt  $P_i$  auf einer Kurve sei bestimmt durch den Schnitt einer Geraden mit einem Kreis. Der Strahl gehe durch einen Anfangspunkt (im allgemeinen ein Berührpunkt an den Kreis), und den Punkt  $P_i$ . Der Kreis gehe durch den vorangehenden Punkt  $P_{i-1}$  und sei definiert durch einen Radius  $a$ , der gleich ist der Sehne, welche die zwei aufeinanderfolgenden Punkte  $P_{i-1}$   $P_i$  verbindet (siehe Figur 2.1).

Die Kurve wird in Beziehung gebracht mit einem Koordinatensystem  $X$ ,  $Y$ , dessen Ursprung der Berührungs punkt  $T$  ist und dessen  $X$ -Achse mit der Tangente an den Kreis zusammenfällt.



Figur 2.1

Die Beziehungen zwischen den gemessenen Werten  $\alpha_i$ ,  $a_i$  und den Koordinaten eines Punktes  $P_i$  sind:

$$\begin{aligned} Y_i &= \tan \alpha_i \quad X_i = K_i X_i \\ a^2 &= (X_i - X_{i-1})^2 + (Y_i - Y_{i-1})^2 \end{aligned} \quad (2.1)$$

Das System (2.1) kann auch in folgende Form umgeschrieben werden:

$$X_i = \frac{(K_i Y_{i-1} + X_{i-1}) + \sqrt{(K_i Y_{i-1} + X_{i-1})^2 - (1 + K_i^2)(X_{i-1}^2 + Y_{i-1}^2 - a^2)}}{1 + K_i^2} \quad (2.2)$$

$$Y_i = K_i X_i$$

Der Ausdruck unter dem Wurzelzeichen ist wie folgt definiert:

$$\Delta = (1 + K_i^2) a^2 - (K_i X_{i-1} - Y_{i-1})^2 \quad (2.3)$$

Entsprechend der Figur 2.1 kann man auch schreiben:

$$K_i X_{i-1} - Y_{i-1} = a \frac{\sin \delta}{\cos \alpha_i} \quad (2.4)$$

wo  $\delta$  der Winkel zwischen der Geraden  $TP_i$  und der Sehne ist. Demnach nimmt die Formel (2.3) die folgende Form an:

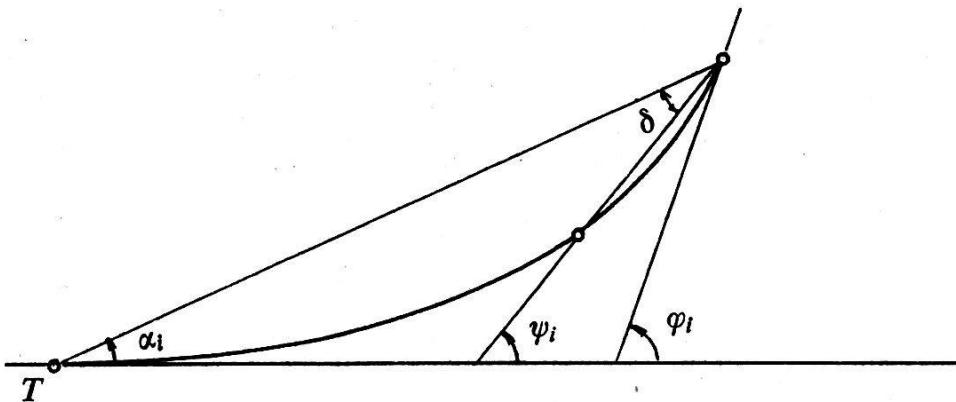
$$\Delta = \frac{a^2 \cos^2 \delta}{\cos^2 \alpha_i} \quad (2.5)$$

Das Einsetzen des Wertes  $\Delta$  gemäß der Formel (2.5) in die Formel (2.2) ergibt:

$$\begin{aligned} X_i &= \frac{1}{2} \sin 2\alpha_i Y_{i-1} + \cos^2 \alpha_i X_{i-1} + \cos \alpha_i \cos \delta a \\ Y_i &= \frac{1}{2} \sin 2\alpha_i X_{i-1} + \sin^2 \alpha_i Y_{i-1} + \sin \alpha_i \cos \delta a \end{aligned} \quad (2.6)$$

Die Ausdrücke (2.6) zeigen die Abhängigkeit zwischen den Koordinaten aufeinanderfolgender Punkte, die von der Absteckungsmethode herrührt. Diese Formeln sind für die Genauigkeitsuntersuchung besonders geeignet. Der Winkel  $\delta$  in den obigen Formeln hängt von der Art der Kurve ab. Hier wird nur die Klothoide behandelt; die Resultate der Überlegungen sind jedoch auch für den Kreis gültig.

Für die Klothoide wird der Winkel  $\delta$  (siehe Figur 2.2):



Figur 2.2

$$\delta = \varphi_i - \alpha_i = \varphi_i - \frac{\varphi_i}{3} = \arcsin\left(\frac{Y_i - Y_{i-1}}{a}\right) - \frac{\varphi_i}{3} \quad (2.7)$$

Das Argument der arc-sin-Funktion und der Winkel  $\varphi_i$  ergeben sich aus den Eigenschaften der Klothoide. Mit guter Annäherung kann man die Größe  $\delta$  wie folgt ausdrücken:

$$\delta = 2\alpha_i - 3\alpha_1, \quad (2.8)$$

wo  $\alpha_1$  der Winkel für die Absteckung des ersten Punktes ist.

Um die Genauigkeitsuntersuchung zu vereinfachen, nehmen wir eine weitere Approximation vor:  $\cos \delta \approx \cos \alpha_i$ . Diese Annäherung ist aus zwei Gründen gestattet: Erstens sind beide Winkel  $\delta$  und  $\alpha_i$  klein, und zweitens ist  $\cos \delta$  nur mit der Sehne zu multiplizieren. Mit dieser Approximation nehmen die Ausdrücke (2.6) eine einfachere Form an:

$$\begin{aligned} X_i &= \frac{1}{2} \sin 2\alpha_i Y_{i-1} + \cos^2 \alpha_i (X_{i-1} + a) \\ Y_i &= \frac{1}{2} \sin 2\alpha_i (X_{i-1} + a) + \sin^2 \alpha_i Y_{i-1} \end{aligned} \quad (2.9)$$

Trotz den gemachten Approximationen ist das Resultat genügend genau, um diese Ausdrücke auch für Berechnungen von Absteckungsdaten anwenden zu können. Das folgende Beispiel illustriert die Schärfe der Formeln.

Gegeben: Länge der Klohoide  $L = 100,0 \text{ m}$   
 Radius des Kreises  $R = 400,0 \text{ m}$   
 Länge der Sehne  $a = 10,0 \text{ m}$

Die Richtungswinkel  $\alpha_i$  sind entsprechend der Klothoidengleichung definiert.

*Tafel 2.1: Vergleich zwischen den Koordinaten laut Formeln (2.9) und den exakten Klothoidenkoordinaten*

Punkte	Koordinaten entsprechend der Formel (2.9)		Exakte Klothoiden Koordinaten		Differenzen	
	X (m)	Y (m)	X (m)	Y (m)	dX (m)	dY (m)
1	10,000	0,004	10,000	0,004		
2	20,000	0,033	20,000	0,033		
3	30,000	0,112	30,000	0,112		
4	39,999	0,267	39,999	0,267		
5	49,996	0,521	49,995	0,521	0,001	
6	59,990	0,900	59,998	0,900	0,002	
7	69,979	1,429	69,974	1,429	0,005	
8	79,960	2,133	79,949	2,132	0,011	0,001
9	89,929	3,036	89,908	3,035	0,021	0,001
10	99,881	4,164	99,844	4,162	0,037	0,002

### 3. Anwendung der Formeln (2.9) für die Analyse der Fehlerfortpflanzung

Jede der Formeln (2.9) besteht aus zwei Gliedern. Das Glied, welches die Y-Koordinate enthält, ist klein im Vergleich zu dem X-Glied. Dies kann durch folgende Beziehungen gezeigt werden:

$$\frac{\sin^2 \alpha_i Y_{i-1}}{\frac{1}{2} \sin 2 \alpha_i (X_{i-1} + a)} = \frac{\frac{1}{2} \sin 2 \alpha_i Y_{i-1}}{\cos^2 \alpha_i (X_{i-1} + a)} = \tan \alpha_i \frac{Y_{i-1}}{X_{i-1} + a} < \tan \alpha_i \tan \alpha_{i-1} \quad (3.1)$$

Die Größenordnung des Produktes  $\tan \alpha_i \tan \alpha_{i-1}$  ist im Grenzfalle 0,001; daher können die kleinen Glieder in den Formeln (2.9) vernachlässigt werden:

$$\begin{aligned} X_i &= \cos^2 \alpha_i (X_{i-1} + a) \\ Y_i &= \frac{1}{2} \sin 2 \alpha_i (X_{i-1} + a) \end{aligned} \quad (3.2)$$

Wenn die Formel für die  $X$ -Koordinate wiederholt angewendet wird, ergibt sich:

$$X_i = a_1 \prod_1^i \cos^2 \alpha_k + a_2 \prod_2^i \cos^2 \alpha_k + \prod_3^i \cos^2 \alpha_k + \dots a_i \cos^2 \alpha_i \quad (3.3)$$

Das Differential  $dX_i$  ist entsprechend der Formel (3.3):

$$\begin{aligned} dX_i &= \prod_1^i \cos^2 \alpha_k da_1 + \prod_2^i \cos^2 \alpha_k da_2 + \dots \cos^2 \alpha_i da_i \\ &\quad - 2 a_1 \tan \alpha_1 \prod_1^i \cos^2 \alpha_k d\alpha_1 \\ &\quad - 2 a_2 \tan \alpha_2 \left( \prod_1^i \cos^2 \alpha_k + \prod_2^i \cos^2 \alpha_k \right) d\alpha_2 \\ &\quad - 2 a_i \tan \alpha_i \left( \prod_1^i \cos^2 \alpha_k + \prod_2^i \cos^2 \alpha_k + \dots \cos^2 \alpha_i \right) d\alpha_i \end{aligned} \quad (3.4)$$

Wegen der kleinen Winkel können alle Kosinusse im Ausdruck (3.4) gleich 1 und die Tangenswerte gleich den Winkeln selbst gesetzt werden. Wenn man zudem beachtet, daß alle Sehnen einander gleich sind, so ergibt sich für das Differential  $dX$ :

$$dX_i = \sum da_i - 2 a \sum i \alpha_i d\alpha_i \quad (3.5)$$

Der entsprechende Ausdruck für  $dY$  ist:

$$dY_i = \tan \alpha_i dX_i + \frac{X_i}{\cos^2 \alpha_i} d\alpha_i \quad (3.6)$$

Das zweite Glied des Produktes  $\tan \alpha_i dX_i$  ist eine Summe von kleinen Elementen, deren jedes eine Größenordnung von  $\alpha^2 d\alpha$  hat. Es ist leicht einzusehen, daß diese Summe vernachlässigt werden kann. Es ergibt sich dann für das Differential  $dY$  der Ausdruck:

$$dY_i = \alpha_i \sum da_i + X_i d\alpha_i \quad (3.7)$$

Bevor man von Differentialen zu mittleren Fehlern übergeht, ist es nötig, das Absteckungsverfahren zu beschreiben. Die abgesteckte Kurve ist im Felde mit Pfählen markiert. Es ist klar, daß Pfähle keine scharf definierte Punkte sind und daß sie für die Beurteilung der Absteckungsgenauigkeit nicht geeignet sind. Scharf definierte Punkte werden leicht durch feine, auf die Pfähle getragene Striche erreicht. Die Richtungsmessung kann dann so ausgeführt werden, daß der für die Markierung verwendete Bleistift auf dem Pfahl aufgesetzt wird und so zur Zielung dient. Es muß auch betont werden, daß bei den kurzen Zielweiten bei Absteckungsarbeiten die Genauigkeit der Richtungsmessung hauptsächlich von der Größe und der Schärfe des Ziels abhängt. Nur wenn die Ziele klar definiert sind, kann eine einheitliche Genauigkeit aller Richtungen angenommen werden.

Was die Sehnen betrifft, ist es erwünscht, daß ihre Bestimmungs-  
genauigkeiten derjenigen der Richtungen entsprechen. Wegen der kurzen  
Abstände kann man einen mittleren Fehler der Richtungsmessung von  
 $2^c$  annehmen, und daher kann der mittlere Fehler der Bestimmung der  
Sehnen zu einigen Millimetern angenommen werden. Das wird nur dann  
erreicht, wenn die Sehnen zwischen feinen Strichen bestimmt sind.

Somit werden von den Formeln (3.6) und (3.7) die Ausdrücke für die  
mittleren Fehler der Koordinaten

$$\begin{aligned} m_{x_i}^2 &= im_a^2 + 4 a^2 m_\alpha^2 (\alpha_1^2 + 2^2 \alpha_2^2 + 3^2 \alpha_3^2 + \dots i^2 \alpha_i^2) \\ m_{y_i}^2 &= i\alpha_i^2 m_a^2 + X_i^2 m_{\alpha_i}^2 \end{aligned} \quad (3.8)$$

Obwohl die Annäherung, die wir bis jetzt angenommen haben (wegen der  
größeren Richtungswinkel), nicht so streng für den Kreis wie für die  
Klothoide gelten, sind die Formeln (3.8) für die Untersuchung der Fehler-  
fortpflanzung gut geeignet, und sie können sowohl für die Klothoide  
als auch für den Kreis angewandt werden. Alle Winkel  $\alpha_i$  können mittels  
des Winkels  $\alpha_1$  ausgedrückt werden (wo  $\alpha_1$  zur Absteckung des ersten  
Punktes dient).

Für die Klothoide besteht die Beziehung  $\alpha_i = i^2 \alpha_1$ , und für den Kreis  
hat man  $\alpha_i = i\alpha_1$ . Werden diese Werte in die Formel (3.8) eingesetzt, so  
ergibt sich:

$$\begin{aligned} m_{x_i}^2 &= im_a^2 + 4 a^2 \alpha_1^2 m_\alpha^2 (1^6 + 2^6 + 3^6 + \dots i^6) \text{ Klothoide} \\ m_{x_i}^2 &= im_a^2 + 4 a^2 \alpha_1^2 m_\alpha^2 (1^4 + 2^4 + 3^4 + \dots i^4) \text{ Kreis} \end{aligned} \quad (3.9)$$

$$\begin{aligned} m_{y_i}^2 &= i^5 \alpha_1^2 m_a^2 + X_i^2 m_{\alpha_i}^2 && \text{Klothoide} \\ m_{y_i}^2 &= i^3 \alpha_1^2 m_a^2 + X_i^2 m_{\alpha_i}^2 && \text{Kreis} \end{aligned} \quad (3.10)$$

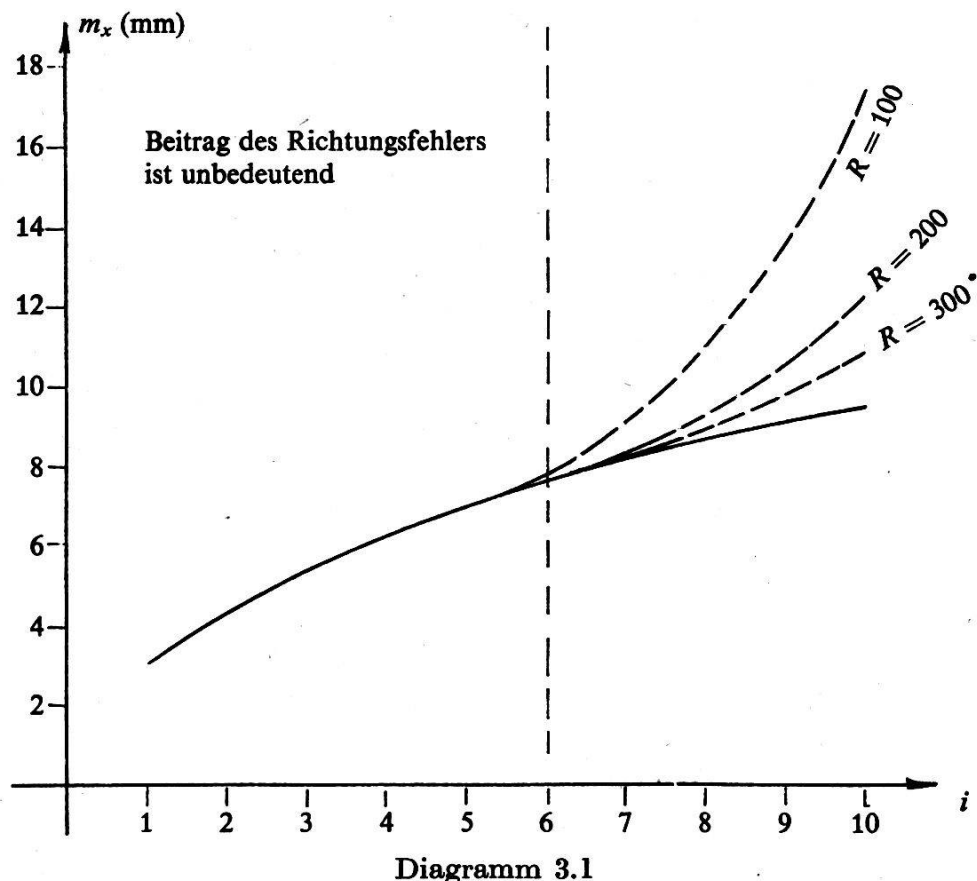
Die Formeln (3.9) und (3.10) können wie folgt interpretiert werden: Der  
mittlere Fehler der Abszisse hängt hauptsächlich von der Genauigkeit  
der Sehnenmessung ab. Der Beitrag der Richtungsmessung [das zweite  
Glied in Formel (3.9)] erreicht für die letzten Punkte der Kurve (dort, wo  $i$   
groß wird) einen bedeutenden Wert.

Der mittlere Fehler der Ordinate hängt hauptsächlich von der Rich-  
tungsmessung ab. Auch hier nimmt das erste Glied der Formel (3.10) nur  
dann einen messbaren Wert an, wenn  $i$  groß wird, das heißt für die  
letzten Punkte auf der Kurve.

Der praktische Schluß, den man aus der letzten Behauptung ziehen  
kann, ist folgender: Wenn es auf die Form der Kurve ankommt, muß die  
Genauigkeit der Richtungsmessung besonders beachtet werden, weil die  
Ordinaten in diesem Fall von entscheidender Bedeutung sind.

Das untenstehende Diagramm illustriert die Folgerungen der Formel  
(3.9). Das Diagramm stellt den mittleren Fehler der Abszissen entlang  
der abgesteckten Klothoide dar. Die untere Kurve repräsentiert nur den  
Anteil der Sehnenmessung, und die unterbrochenen Kurven stellen die

Summen der beiden Glieder der Formel dar. Für die Berechnung der Kurven sind folgende Werte angenommen worden:  $m_a = 3 \text{ mm}$ ,  $m_\alpha = 2^\circ$ ,  $a = 10,0 \text{ m}$ ,  $L = 100,0 \text{ m}$ . Die Radien sind auf dem Diagramm angegeben.



#### 4. Zusammenfassung

Am Anfang wird die Geometrie des Problems diskutiert. Formeln, die die gegenseitige Abhängigkeit der Koordinaten benachbarter Punkte auf der Kurve ausdrücken, werden abgeleitet. Diese Formeln sind sowohl für die Behandlung der Fehlerfortpflanzung als auch für die Berechnung von Absteckungsdaten (für die Klo thoide) gültig.

Im weiteren wird eine Fehlerdiskussion durchgeführt. Es wird auch gezeigt, wie die Genauigkeit der Sehnen- und Richtungsmessung die Koordinaten beeinflusst.